# Aplicación de la Secuenciación masiva de cadenas largas del gen 16S ARNr para la identificación de especies bacterianas causantes de infección protésica articular

#### Dra Sònia Molinos Abós

Microbiology Department, Laboratori Clínic Metropolitana Nord. Germans Trias i Pujol University Hospital (HUGTiP), Germans Trias i Pujol Research Institute (IGTP), Badalona, Spain.





#### Introducción IPA

La **infección de prótesis articular (IPA)** es la causa más frecuente de fracaso de artroplastia total Les cirugías de prótesis articular son cada vegada más comunes debido al envejecimiento de la población y una mayor expectativa de vida.

Hasta el 10% de las cirugías de prótesis articular primaria derivan en infección.

Hasta el 40% de las cirugías de revisión derivan en infección.



El diagnóstico rápido y preciso es esencial para evitar complicaciones y para establecer un tratamiento dirigido y reducir y reducir los costos asociados





#### Diagnóstico IPA

The Journal of Arthroplasty 33 (2018) 1309-1314



Contents lists available at ScienceDirect

#### The Journal of Arthroplasty



journal homepage: www.arthroplastyjournal.org

The 2018 Definition of Periprosthetic Hip and Knee Infection: An Evidence-Based and Validated Criteria



Javad Parvizi, MD <sup>a</sup>, <sup>a</sup>, Timothy L. Tan, MD <sup>a</sup>, Karan Goswami, MD <sup>a</sup>, Carlos Higuera, MD <sup>b</sup> Craig Della Valle, MD <sup>c</sup>, Antonia F. Chen, MD, MBA <sup>a</sup>, Noam Shohat, MD <sup>a</sup>. <sup>d</sup>

- a Rothman Institute, Thomas Jefferson University, Philadelphia, PA
- b Cleveland Clinic, Cleveland, OH
- c Rush University Medical Center, Chicago, IL
- d Sackler Faculty of Medicine, Tel Aviv University, Ramat Aviv, Israel

#### Diagnóstico Microbiológico

>85% dels casos de PJI amb cultivo negativo

iviajor criteria (at least one of the following)	Decision	
Two positive cultures of the same organism		
Sinus tract with evidence of communication to the joint or visualization of the prosthesis	Infected	

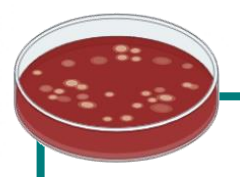
		Minor Criteria	Score	Decision
Preoperative Diagnosis	Serum	Elevated CRP <u>or</u> D-Dimer	2	
		Elevated ESR	1	≥6 Infected
	Synovial	Elevated synovial WBC count or LE	3	2-5 Possibly Infected <sup>a</sup>
		Positive alpha-defensin	3	2-5 rossibly illected
		Elevated synovial PMN (%)	2	0-1 Not Infected
		Elevated synovial CRP	1	11

Intraoperative Diagnosis	Inconclusive pre-op score <u>or</u> dry tap <sup>a</sup>	Score	Decision	
	Preoperative score	-	≥6 Infected	
	Positive histology	3	4 E Image alusius b	
	Positive purulence	3	4-5 Inconclusive <sup>b</sup>	
	Single positive culture	2	≤3 Not Infected	





#### Cultivo positivo versus Secuenciación gen 16S ARNr



#### Gold standard: Cultivo positivo



#### Secuenciación gen 16S ARNr de muestra directa

#### Procesamiento complejo y retraso en el resultado

(carga bacteriana baja, bacterias de crecimiento lento, cultivos negativos)

Diagnóstico rápido y detección de microrganismos de crecimiento lento o difíciles de cultivar

#### Sensibilidad limitada

>45% IPA cultivos negativos (tratamiento antibiótico, bacterias no cultivables o de crecimiento lento o dificultoso) No depende del cultivo, alternativa a IPA con cultivo negativo

Identificación de infecciones polimicrobianas

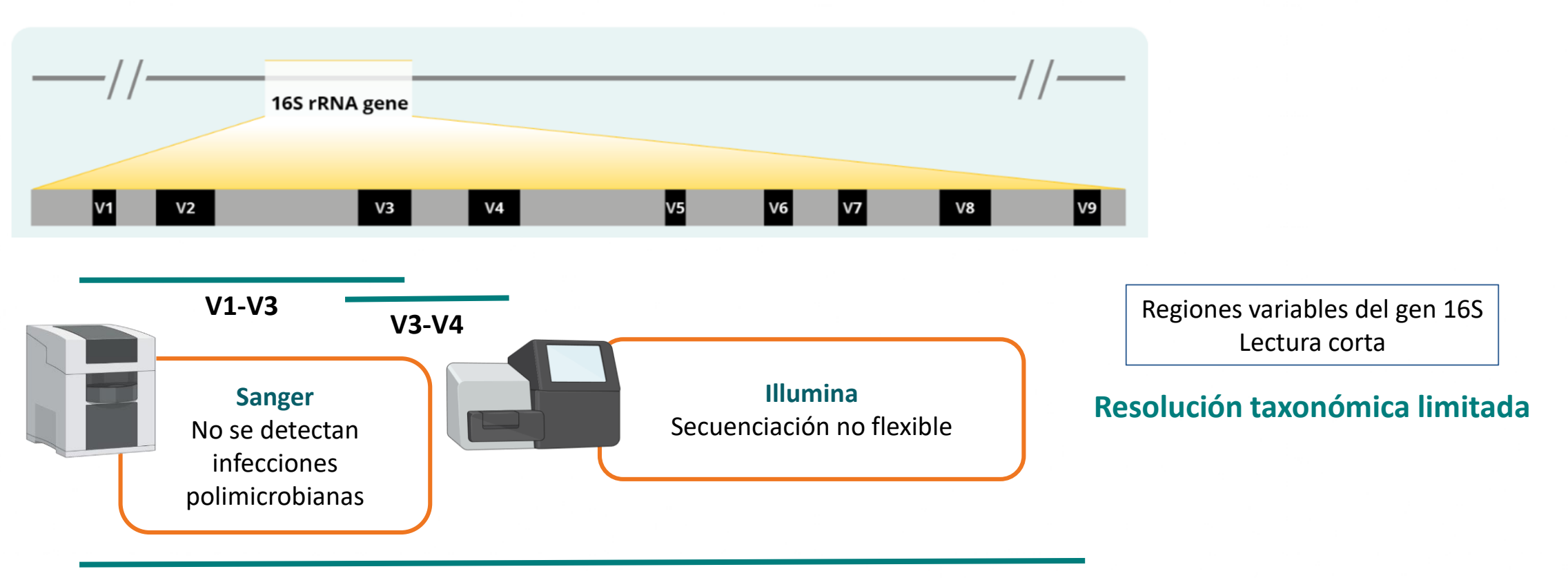
#### Dificultad en la interpretación

(microbiota de la piel, infecciones polimicrobianas)





#### Secuenciación de lectura larga del gen 16S ARNr



**V1-V9** (Full-length ~ 1,500 bp)



Rápida, flexible, de fácil uso e interpretación con resultados en tiempo real

Análisis completo del gen 16S

Mejora la resolución taxonómica





J Clin Microbiol. 2012 Mar; 50(3): 583-589.

doi: 10.1128/JCM.00170-11

PMCID: PMC3295163

PMID: 22170934

Sanger

Role of Universal 16S rRNA Gene PCR and Sequencing in Diagnosis of Prosthetic Joint Infection

M. Marín, Ma J. M. Garcia-Lechuz, P. Alonso, M. Villanueva, L. Alcalá, M. Gimeno, E. Cercenado, M. Sánchez-Somolinos, C. Radice, and E. Bouza

#### Illumina

Clin Infect Dis. 2023 Feb 1; 76(3): e1456-e1462.

Published online 2022 Aug 9. doi: 10.1093/cid/ciac646

PMCID: PMC10169413

PMID: 35944127

Targeted Versus Shotgun Metagenomic Sequencing-based Detection of Microorganisms in Sonicate Fluid for Periprosthetic Joint Infection Diagnosis

Hyo-Lim Hong, Laure Flurin, Matthew J Thoendel, Matthew J Wolf, Matthew P Abdel, Kerryl E Greenwood-Quaintance, and Robin Patel<sup>∞</sup>

#### Nanopore 16S amplicon sequencing enables rapid detection of pathogen in knee periprosthetic joint infection

Hyuk-Soo Han a, Du Hyun Ro a, Jeehyeok Chung A, Narae Kim b, Jangsup Moon b, c, \*

2022

#### **Oxford Nanopore Technologies**

n= 36 casos → 22 clasificados como infección según criterios MSIS (14 considerados como no infección)

- 19 casos con cultivo positivo → concordancia del 74% (14/19)
- □ 3 casos con cultivo negativo → concordancia del 100%



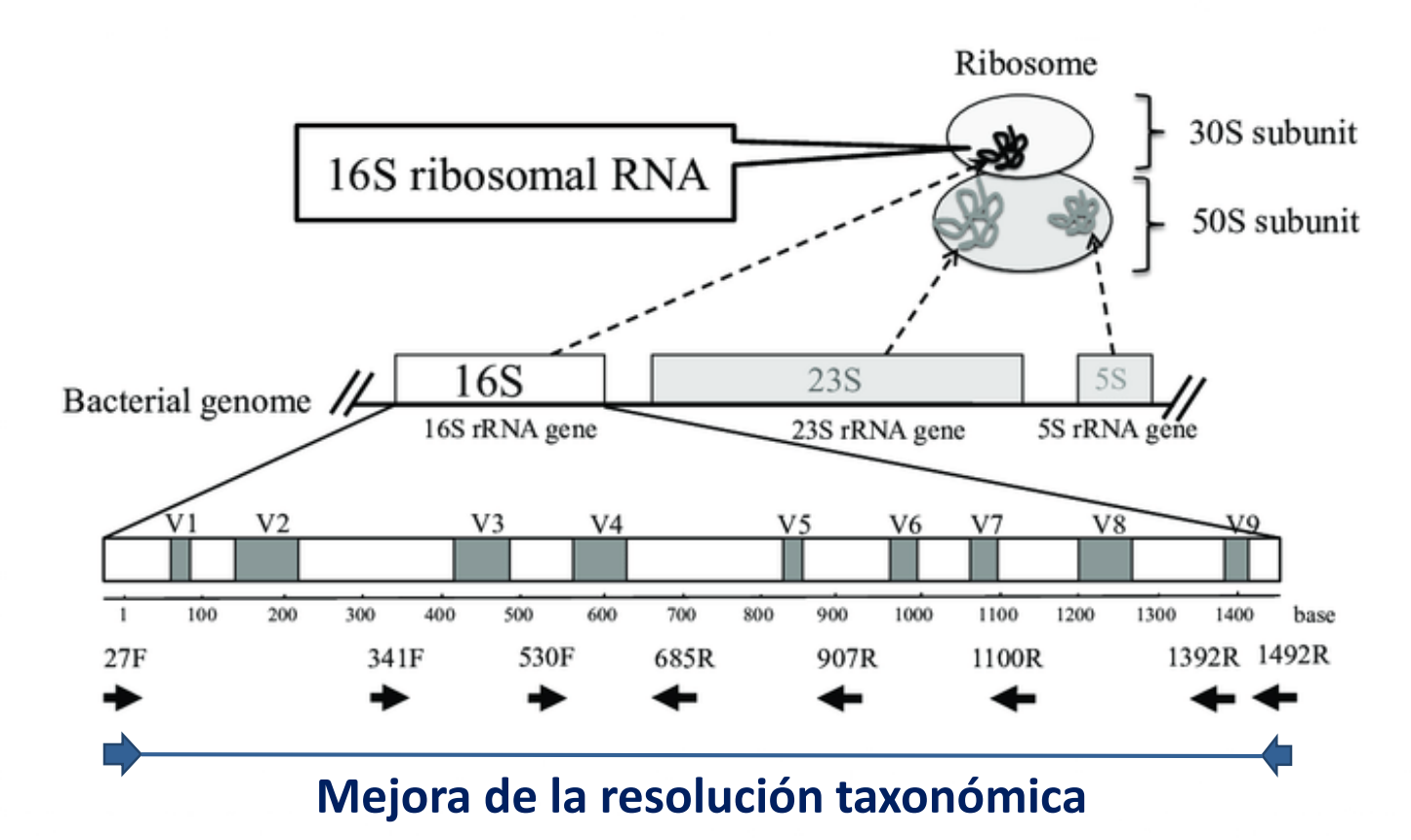


a Department of Orthopaedic Surgery, Seoul National University College of Medicine, Seoul, South Korea

b Department of Neurology, Seoul National University Hospital, Seoul, South Korea

Department of Genomic Medicine, Seoul National University Hospital, Seoul, South Korea

#### Amplificación y secuenciación por nanoporos del gen ARNr 16S completo





https://www.youtube.com/watch?v=RcP85JHLmnI

Objetivo: Validar e implementar la secuenciación masiva de lecturas largas para una rápida identificación de especies bacterianas causantes de IPA



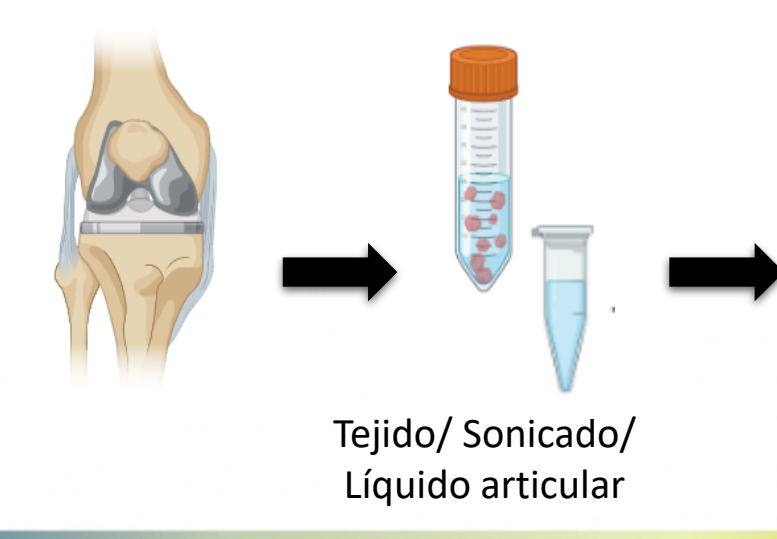


#### 12 casos sospecha IPA

#### Diseño del estudio

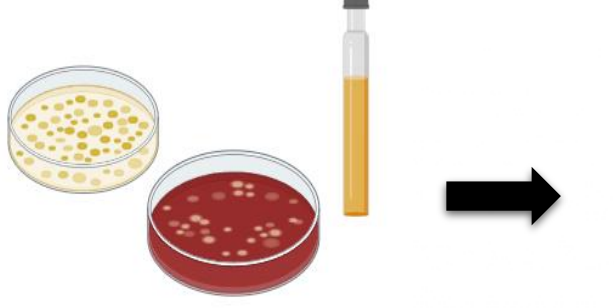
Estudio unicéntrico y retrospectivo (2022-2023)

#### **Gold Standard:**



Localitzación:
Rodilla, cadera, hombro y columna

Tipo de muestra:
Líquido articular y/o tejido



Cultivo convencional



Localitzación:

Rodilla, cadera y
hombro

Tipo de muestra: Líquido articular y/o tejido

Tiempo de respuesta: 2-9 días

Identificación del aislamiento
MALDI Biotyper (Bruker Daltonics)

Germans Trias i Pujol
Hospital



#### Amplificación y secuenciación por nanoporos del gen ARNr 16S completo

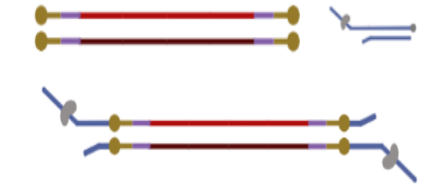
## Extracción del ADN **CAUTION** 25-50mg tejido / 1mL sonicado prótesis o líquido articular Adición control negativo extracción **QIAamp DNA Mini Kit (QIAGEN)** 4h

Amplificación, preparación de librerías y pooling

1. PCR con *primers* 16S + índexs



2. Adición adaptadores de seq

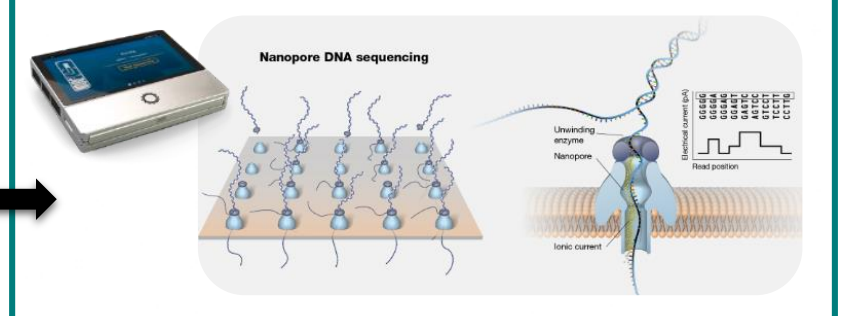


Adición control positivo librerías

16S Barcoding Kit (ONT)
3h

Tiempo de respuesta: 1-3 días

Secuenciación e interpretación de resultados en tiempo real



Secuenciador MinION Mk1C (ONT)





2h o overnight





#### Resultados casos con cultivo positivo

Caso	Tipo de muestra	Localitzación	Resultado cultivo	Resultado seq 16S	Comparativa	TAT cultivo (días)
1	Líquido articular (n=3) i teixit (n=3)	Rodilla	S. aureus (4/6)	S. aureus (6/6)	Concordante	2
2	Tejido (n=4)	Cadera	Enterococcus faecalis (4/4)	E. faecalis (2/4)	Concordante	3
3	Líquid articular (n=1) i teixit (n=4)	Espatlla	S. aureus (5/5)	S. aureus (5/5)	Concordante	2
4	Tejido (n=5)	Columna	E. faecalis (4/5)	E. faecalis / Bacteroides fragilis (4/5)	Concordante (información adicional por seq)	3
5	Tejido (n=3)	Cadera	C. acnes (3/3)	Negativo* (3/3)	Discordante	9
11	Tejido (n=4)	Cadera	Staphylococcus lugdunensis (3/4)	Negativo** (4/4)	Discordante	5

<sup>\*</sup>Baja carga bacteriana (positivo para C. acnes en cultivo al 9eno día)

**Concordancia del 66,7% (4/6)** 





<sup>\*\*</sup>Confirmación del resultado por duplicado des del eluido (no se disponía de muestra original para repetir extracción)

#### Resultados casos con cultivo negativo

Caso	Tipo de muestra	Localitzación	Resultado cultivo	Resultado seq 16S	Comparativa	TAT cultiu (días)
6	Tejido (n=4)	Rodilla	Negativo (4/4)	Negativo (4/4)	Concordante	9
7	Tejido y sonicado (n=2)	Cadera	Negativo (1/2)	Negativo (2/2)	Concordante	9
8	Líquido articular (n=2)	Hombro	Negativo (2/2)	Negativo (2/2)	Concordant	9
9	Líquido articular (n=1) i teixit (n=4)	Cadera	Negativo (5/5)	Negativo(5/5)	Concordante	9
10	Líquido articular (n=2) i teixit (n=2)	Rodilla	Negativo (4/4)	Streptococcus pneumoniae (2/4)*	Discordante	9
12	Tejido (n=3)	Cadera	Negativo(3/3)	Negativo (3/3)	Concordante	9

<sup>\*</sup>Confirmado per un hemocultiu positivo (paciente con tratamiento antibiótico por endocarditis infecciosa)

**Concordancia del 83,3% (5/6)** 





#### Conclusiones

- La concordancia de resultados entre el cultivo y la secuenciación del gen 16S ARNr en pacientes con IPA fue del 75% (9/12).
- La secuenciación del gen completo de 16S ARNr mediante la metodología ONT es una línea prometedora para complementar el diagnóstico microbiológico de las IPA, con un tiempo de respuesta rápido, fundamental para el manejo de este tipo de infecciones.
- La validación adicional de estos resultados preliminares y su aplicación en el diagnóstico requiere un estudio más gran y prospectivo, en el cual los resultados deberán ser interpretados por un equipo multidisciplinar.



### Agradecimientos

#### **Microbiology Department**



#### **Department of Infectious Diseases**

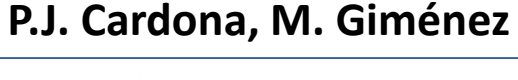
Bacteriology Unit –

S. Molinos

MD. Quesada

A. Llop-Agüero

B. Rodríguez-Ponga









**Sequencing Unit Pathogens Diagnostics and Genomic Epidemiology Group** 

A.E. Bordoy

S. González-Gómez

O. Pérez

A. París

AC. Coello

M. de Homdedeu

S. Martínez-Puchol

V. Saludes

E. Martró

E. Reynaga J. Díez de los Ríos

A. Vivero

**Department of Orthopaedic Surgery** and Traumatology

G. Pedemonte JA. Hernández-Hermoso VJ. López-Pérez









